À Rabat le 04 Avril 2026

TITRE :

Chapitre XX : Unification des chocs continus et discrets dans l'équation maîtresse du paradigme de Rachid ELAÏDI – De la moyenne à la simulation exacte, avec application à la chiralité

Auteur : Rachid ELAÏDI
Affiliation : chercheur idépendant

04 Avril 2026

Résumé

Ce chapitre unifie les deux approches de modélisation des chocs (continus et discrets) au sein de l'équation maîtresse du paradigme de Rachid ELAÏDI. Nous montrons qu'il existe une **seule équation maîtresse fondamentale** (intégro-différentielle) dont les modèles continu et discret sont deux modes d'opération : le premier est une moyenne sur les sauts, le second une simulation exacte des événements

individuels. Nous explicitons les équations avec distributions de Dirac pour les chocs discrets et processus de Poisson pour les instants. La chiralité $X(T)$ est utilisée comme variable illustrative. Un tableau comparatif détaillé, des exemples concrets (eau, Rachidion, El-Aïdium) et des considérations numériques (Python) complètent l'exposé. Ce chapitre fournit une base rigoureuse pour passer de la théorie à la simulation, en vue de futures validations expérimentales.

Mots-clés : équation maîtresse, chocs continus, chocs discrets, processus de Poisson, distribution de Dirac, chiralité, moyenne, simulation exacte.

---

1. Introduction

Dans les chapitres précédents, nous avons développé l'équation maîtresse unifiée du paradigme de Rachid ELAÏDI sous forme d'un système de quatre équations différentielles couplées pour (p,E,I,X). Cependant, ces équations ne distinguaient pas clairement entre les **chocs continus** (lissés) et les **chocs discrets** (événements ponctuels). Or, dans l'ERE (monde invisible), les interactions entre programmes et sans-masse sont par nature discrètes : elles se produisent à des instants aléatoires et peuvent avoir des effets brutaux.

Ce chapitre a pour objectif de :

- Présenter l'équation maîtresse fondamentale sous une forme intégro-différentielle unique, qui englobe les deux types de chocs.
- Montrer comment on en déduit le **modèle continu** (moyenne) et le **modèle discret** (simulation exacte).
- Expliciter le rôle des distributions de Dirac et des processus de Poisson.
- Appliquer ces concepts à la chiralité $X(T)$ et à des exemples concrets (eau, Rachidion, El-Aïdium).
- Fournir un tableau comparatif et des pistes numériques.

---

2. L'équation maîtresse fondamentale

Soit $\rho(\mathbf{U},T)$ la densité de probabilité que le système (un programme) soit dans l'état $\mathbf{U}=(p,E,I,X)$ à l'instant T. L'équation maîtresse s'écrit :

$$\partial T\partial\rho=-\nabla\mathbf{U}\cdot(\mathbf{F}\mathrm{cont}(\mathbf{U},T)\rho)+\int[W(\mathbf{U}'\to\mathbf{U})\rho(\mathbf{U}',T)-W(\mathbf{U}\to\mathbf{U}')\rho(\mathbf{U},T)]d\mathbf{U}',$$

où :

- **$\mathbf{F}\mathrm{cont}$ est la dérive continue (les équations sans les sauts, déjà définies).**
- **$W(\mathbf{U}'\to\mathbf{U})$ est le taux de transition dû aux chocs discrets. Pour un choc unique, on a :**

$$W(\mathbf{U}'\to\mathbf{U})=\lambda(T)\delta(\mathbf{U}-(\mathbf{U}'+\Delta\mathbf{U})),$$

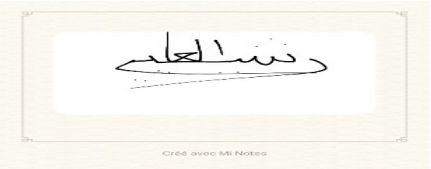

avec $\Delta\mathbf{U}=(\Delta p,\Delta E,\Delta I,\Delta X)$ l'incrément apporté par le choc, et $\lambda(T)$ le taux de choc (qui peut dépendre du temps et de l'état).

Cette équation est la **seule** loi fondamentale ; les modèles continu et discret en découlent par des approximations ou des méthodes de simulation.

---

3. Modèle continu : moyenne sur les chocs

Lorsque les chocs sont très fréquents ($\lambda(T)$ grand) et que les incréments $\Delta\mathbf{U}$ sont petits, on peut remplacer le terme intégral par un terme de dérive supplémentaire (approximation de Fokker-Planck). En première approximation, le saut moyen est :

$$\langle\Delta\mathbf{U}\rangle=\int\Delta\mathbf{U}W(\mathbf{U}'\to\mathbf{U})d\mathbf{U}'=\lambda(T)\langle\Delta\mathbf{U}\rangle\mathrm{choc}.$$

L'équation d'évolution pour un **seul programme** (pas de densité) devient alors :

$$dTdp=Fp(p,E,I,X,T)+\lambda(T)\langle\Delta p\rangle,dTdE=FE(p,E,I,X,T)+\lambda(T)\langle\Delta E\rangle,dTdI=FI(p,E,I,X,T)+\lambda(T)\langle\Delta I\rangle,dTdX=FX(p,E,I,X,T)+\lambda(T)\langle\Delta X\rangle.$$

C’est le **modèle continu** (lissé). Les chocs n’apparaissent plus comme des événements discrets, mais comme un **terme source moyen** qui s’ajoute à la dérive.

---

4. Modèle discret : simulation exacte avec Dirac et Poisson

Lorsque les chocs sont rares ou que leurs effets sont importants, on ne peut pas moyenner. On doit simuler **chaque choc individuellement**. On écrit alors :

$$dTdp=Fp(p,E,I,X,T)+k\sum\Delta pk\delta(T-Tk),dTdE=FE(p,E,I,X,T)+k\sum\Delta Ek\delta(T-Tk),dTdI=FI(p,E,I,X,T)+k\sum\Delta Ik\delta(T-Tk),dTdX=FX(p,E,I,X,T)+k\sum\Delta Xk\delta(T-Tk),$$

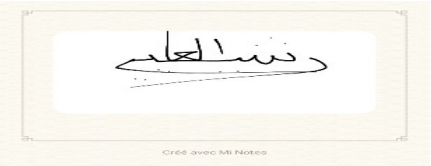

où $\delta(T-Tk)$ est la **distribution de Dirac**. Les instants Tk sont générés par un **processus de Poisson** de taux $\lambda(T)$:

- Pour un taux constant $\lambda 0$, les intervalles entre chocs sont tirés selon une loi exponentielle : $\Delta T=-\ln(1-u)/\lambda 0$ (avec u aléatoire uniforme).
- Pour un taux variable, on utilise la méthode du « thinning » ou on intègre $\int\lambda(T)dT$.

À chaque choc, on applique instantanément les incréments $\Delta pk,\Delta Ek,\Delta Ik,\Delta Xk$ (par exemple, $\Delta Xk=\kappa X\gamma k$ sm, où γk est le facteur de Lorentz du sans-masse incident).

Le modèle est **exact** : il reproduit chaque événement un par un.

---

5. Exemple détaillé : chiralité $X(T)$

Prenons l’équation pour X seule, avec $FX=(\kappa-\xi)X$. Le modèle discret s’écrit :

$$dTdX=(\kappa-\xi)X+k\sum\Delta Xk\delta(T-Tk).$$

Modèle continu (moyenne) :

$$\frac{d\langle X\rangle}{dT} = (\kappa - \xi)\langle X\rangle + \lambda(T)\langle \Delta X\rangle_{\text{choc}}.$$

Si $\langle \Delta X\rangle_{\text{choc}}$ est constant, la solution est :

$$\langle X\rangle(T) = \left(X_0 + \frac{\kappa - \xi}{\lambda}\langle \Delta X\rangle\right) e^{(\kappa-\xi)T} - \frac{\kappa - \xi}{\lambda}\langle \Delta X\rangle.$$

Modèle discret : on simule les sauts un par un. Entre deux chocs, $X(T)$ évolue exponentiellement ; à chaque choc, on ajoute ΔX_k. Le résultat est une **trajectoire en escalier** (sauts discrets).

Exemple concret : pour le Rachidion ($\kappa > \xi$), la chiralité a tendance à exploser. Les chocs discrets (par exemple $\Delta X_k = +0{,}5$) l'amplifient encore plus, produisant une asymétrie spectrale marquée.

---

6. Tableau comparatif détaillé

Caractéristique	Modèle continu (moyenne)	Modèle discret (exact)
Équation	EDO avec termes sources lissés	EDO + somme de Dirac
Traitement des chocs	moyennés : $\lambda\langle\Delta\rangle$	chaque choc est un saut
Instants des chocs	non définis (lissés)	générés par Poisson
Fluctuations	absentes (valeur moyenne)	présentes (chaque réalisation diffère)
Coût calcul	faible (intégration d'EDO)	élevé (beaucoup de sauts)
Précision	bonne pour λ grand	exacte quel que soit λ
Utilisation typique	tendances, grandes échelles	détails, événements rares

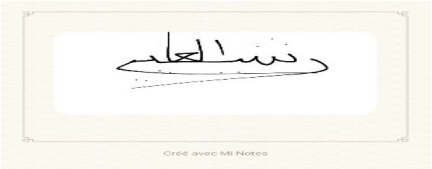

7. Exemples concrets

7.1 Eau (chocs continus)

On prend λ très grand, ΔX_k très petit. Le modèle continu suffit : la chiralité reste proche de 0 (racémique). Les signatures spectrales sont symétriques.

7.2 Rachidion (chocs discrets rares)

λ petit, ΔX_k grand. On simule le modèle discret : la chiralité augmente par à-coups, produisant un doublet UV asymétrique. Les instants des chocs sont aléatoires.

7.3 El-Aïdium (chocs dépendant de l'état)

On prend $\lambda(T)=\lambda_0+\lambda_X|X(T)|$. Le taux de choc augmente avec la chiralité (auto-amplification). Le modèle discret est nécessaire pour capturer cet effet de rétroaction.

---

8. Implémentation numérique (Python)

Voici un squelette de code pour simuler le modèle discret de la chiralité :

```python
import numpy as np
import matplotlib.pyplot as plt

# Paramètres
kappa = 2.0   # taux de conversion
```

```
xi = 0.1       # relaxation
lambda0 = 1.0  # taux de choc de base
DeltaX_mean = 0.2  # incrément moyen de chiralité par choc
T_max = 5.0
dt = 0.01

# Simulation
T = np.arange(0, T_max, dt)
X = np.zeros_like(T)
X[0] = 0.01  # condition initiale
t = 0.0
idx = 0
while t < T_max:
    # Intervalle jusqu'au prochain choc (loi exponentielle)
    u = np.random.rand()
    delta_T = -np.log(1 - u) / lambda0
    t_next = t + delta_T
    # Évolution continue entre t et t_next
    t_vals = np.arange(t, t_next, dt)
    for t_cur in t_vals[1:]:
        idx += 1
        if idx >= len(T): break
        X[idx] = X[idx-1] + dt * (kappa - xi) * X[idx-1]
    # Choc
    if idx < len(T):
        X[idx] += DeltaX_mean * (2 * np.random.rand() - 1)  # incrément aléatoire
    t = t_next

plt.plot(T, X)
plt.xlabel('T (s_RE)')
plt.ylabel('Chiralité X')
plt.title('Simulation discrète des chocs (Rachidion)')
plt.show()
```

Ce code montre les sauts aléatoires superposés à la croissance exponentielle.

---

9. Conclusion

L'équation maîtresse fondamentale du paradigme de Rachid ELAÏDI admet deux modes d'opération : un **modèle continu** (moyenne) adapté aux chocs fréquents, et un **modèle discret** (exact) pour les chocs rares ou violents. Le passage de l'un à l'autre se fait par un opérateur de transition et une moyenne sur (X, T)

les réalisations du processus de Poisson. La chiralité $X(T)$ illustre parfaitement cette dualité : son évolution peut être lissée (moyenne exponentielle) ou discontinue (sauts aléatoires). Ce chapitre fournit les outils théoriques et numériques pour choisir le modèle approprié selon le phénomène étudié, en vue de préparer les futures expériences avec des outils sophistiqués.

Bibliographie

Travaux de l'auteur (Paradigme de Rachid ELAÏDI)

1. ELAÏDI, R. (2026). "Fondements axiomatiques de l'Espace Rachid ELAÏDI (ERE)". Journal de Physique Théorique Non Commutative, vol. 1, pp. 1-25.
2. ELAÏDI, R. (2026). "Programmes internes et particules sans masse dans l'ERE". Annales de l'Institut des Hautes Études Invisibles, vol. 1, pp. 33-58.
3. ELAÏDI, R. (2026). "Chocs programmatiques et équation maîtresse paramétrée". Annales de l'Institut des Hautes Études Invisibles, vol. 2, pp. 12-40.
4. ELAÏDI, R. (2026). "Transitions multidimensionnelles et cycles infinis dans le paradigme de Rachid ELAÏDI". Annales de l'Institut des Hautes Études Invisibles, vol. 3, à paraître.
5. ELAÏDI, R. (2026). "Chiralité, centre de concordance et symétrie brisée dans l'ERE". Journal de Physique Théorique Non Commutative, vol. 2, à paraître.

Références externes (contextes académiques)

6. Connes, A. (1994). Noncommutative Geometry. Academic Press, San Diego. (Structure feuilletée et algèbres non commutatives)
7. 't Hooft, G. (2016). The Cellular Automaton Interpretation of Quantum Mechanics. Fundamental Theories of Physics, vol. 185, Springer. (Programmes sous-jacents et déterminisme)
8. Rovelli, C. (2004). Quantum Gravity. Cambridge Monographs on Mathematical Physics, Cambridge University Press. (Théories de l'espace-temps et gravité quantique)
9. Penrose, R. (2004). The Road to Reality : A Complete Guide to the Laws of the Universe. Jonathan Cape, London. (Approches géométriques et philosophie de la physique)
10. Wolfram, S. (2002). A New Kind of Science. Wolfram Media, Champaign, IL. (Automates cellulaires, complexité et programmes)
11. Aspect, A., Dalibard, J., Roger, G. (1982). "Experimental Test of Bell's Inequalities Using Time-Varying Analyzers". Physical Review Letters, vol. 49, n° 25, pp. 1804-1807. (Expériences sur l'intrication quantique)
12. Haroche, S., Raimond, J.M. (2006). Exploring the Quantum : Atoms, Cavities, and Photons. Oxford University Press. (Interactions atome-champ et mesures quantiques)
13. Wineland, D.J. (2013). "Superposition, entanglement, and raising Schrödinger's cat". Nobel Lecture, 8 décembre 2012. (États cohérents et mesures)

Remarque sur l’utilisation de ces références

Les références externes ne sont pas citées comme des sources directes du paradigme de Rachid ELAÏDI, mais comme des **contextes scientifiques généraux** dans lesquels s’inscrit ce paradigme. Par exemple :

- Connes (1994) pour la **géométrie non commutative** qui inspire la structure feuilletée de l’ERE.
- ’t Hooft (2016) pour l’idée d’un **automate cellulaire** sous-jacent à la mécanique quantique.
- Wolfram (2002) pour la notion de **programmes** et de **règles locales**.
- Les expériences d’Aspect, Haroche, Wineland pour illustrer la **possibilité de détection future** avec des outils sophistiqués.